

# Travaux numériques de Physique Quantique

Thomas Darley

June 8, 2021

## A Particule dans un puits triangulaire

### A.1 Résolution analytique

On rappelle la forme générale de l'équation de Schrödinger 1D:

$$H\Psi_n(x, t) = E_n\Psi_n(x, t)$$

Ici, l'Hamiltonien du système est,  $\forall x > 0$ :

$$H = -\frac{\hbar^2}{2m} \frac{\partial^2}{\partial x^2} + \alpha x$$

On considère une solution sous la forme  $\Psi(x, t) = \psi(x)g(t)$ , où  $g(t) = e^{i\frac{E_n}{\hbar}t}$ .  $\psi$  vérifie alors,  $\forall x > 0$  :

$$\frac{\hbar^2}{2m} \frac{d^2\psi_n}{dx^2}(x) = (\alpha x - E_n)\psi_n(x) \quad (1)$$

Effectuons le changement de variable indiqué :  $z = \left(\frac{2m\alpha}{\hbar^2}\right)^{1/3} \left(x - \frac{E_n}{\alpha}\right)$ . On a d'abord, d'après la règle de la chaîne :

$$\frac{d^2}{dx^2} = \left(\frac{dz}{dx}\right)^2 \frac{d^2}{dz^2} = \left(\frac{2m\alpha}{\hbar^2}\right)^{2/3} \frac{d^2}{dz^2}$$

L'équation 1 devient alors :

$$\left(\frac{\hbar^2}{2m\alpha}\right)^{1-2/3} \frac{d^2\psi_n}{dz^2}(z) = \psi_n(z)z \left(\frac{\hbar^2}{2m\alpha}\right)^{1/3}$$

Ou encore :

$$\frac{d^2\psi_n}{dz^2}(z) = \psi_n(z)z \quad (2)$$

On retrouve bien l'équation d'Airy souhaitée, dont les solutions sont de la forme :

$$\psi_n : z \mapsto C \cdot A_i(z)$$

Où  $C \in \mathbf{R}$  une constante de normalisation et  $A_i$  est la fonction d’Airy. On visualise cette fonction sur l’intervalle  $[-10, 5]$  grâce à Python (**A1**) :

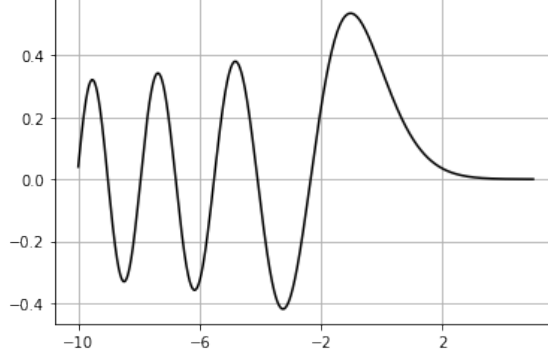


Figure 1: Fonction d’Airy

Ou, en remplaçant  $z$  par sa valeur,

$$\psi_n : x \mapsto C \cdot A_i \left( \left( \frac{2m\alpha}{\hbar^2} \right)^{1/3} \left( x - \frac{E_n}{\alpha} \right) \right) \quad (3)$$

Vu que  $\psi_n(0) = 0$ , les énergies propres vérifient :

$$A_i \left( - \left( \frac{2m\alpha}{\hbar^2} \right)^{1/3} \frac{E_n}{\alpha} \right) = 0$$

En notant  $\beta_n$  le  $n$ -ième zéro de la fonction d’Airy, on a donc :

$$- \left( \frac{2m\alpha}{\hbar^2} \right)^{1/3} \frac{E_n}{\alpha} = \beta_n$$

Ou encore :

$$E_n = - \left( \frac{\alpha^2 \hbar^2}{2m} \right)^{1/3} \beta_n$$

En utilisant l’approximation  $\beta_n \approx - \left( \frac{3\pi(4n-1)}{8} \right)^{2/3}$ , on arrive aux valeurs d’énergies propres utilisées par la suite :

$$E_n = \left( \frac{3\alpha\hbar\pi(4n-1)}{8\sqrt{2m}} \right)^{2/3} \quad (4)$$

## A.2 Résolution numérique

On se place maintenant dans le cas où le potentiel triangulaire est lui-même dans un puits infini. Le puits aura une largeur  $a$ , et le potentiel affine atteindra  $V_0$  en  $a$ , on a donc le nouveau Hamiltonien du système:

$$H^p = H + V_\infty$$

avec  $V_\infty(x) = +\infty \forall x \in [-\infty, 0] \cup [a, \infty]$  et  $V_\infty(x) = 0 \forall x \in [0, a]$ .

On détermine alors numériquement  $H^p$  et les énergies propres normalisées ( $\varepsilon_n$ ) par l'énergie fondamentale du puits infini  $E_1 = \frac{\pi^2 \hbar^2}{2ma^2}$  (Annexe **(A2)**). On applique le code précédent et on trace le résultat pour  $n = 0, 1, 2$  grâce au code **(A3)**.

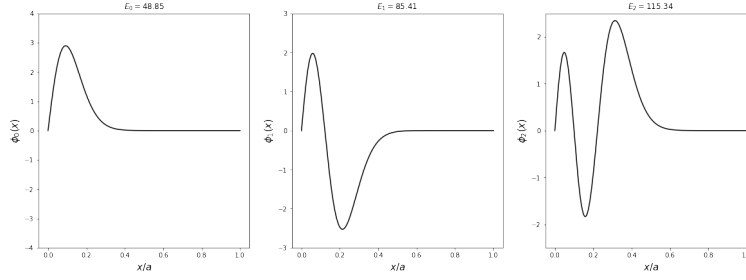


Figure 2: Trois premières fonctions propres du système et leurs énergies

On souhaite maintenant confronter cette simulation à la théorie. D'après **(4)**, on a (avec  $\alpha = \frac{V_0}{a}$ ):

$$\varepsilon_n = \frac{E_n}{E_1} = \frac{\left(\frac{3V_0 \hbar \pi (4n-1)}{8a\sqrt{2m}}\right)^{2/3}}{\frac{\pi^2 \hbar^2}{2ma^2}} = \left(\frac{6mV_0 a^2 (4n-1)}{8\pi^2 \hbar^2}\right)^{2/3} = \left(\frac{3}{8}v_0(4n-1)\right)^{2/3}$$

On peut également exprimer les fonctions d'onde en fonction de  $\varepsilon_n$  et  $\frac{x}{a}$  d'après **(3)** :

$$\psi_n(x) = C \cdot A_i \left( \left( v_0 \pi^2 \right)^{1/3} \left( \frac{x}{a} - \frac{\varepsilon_n}{v_0} \right) \right)$$

On détermine  $C_n$  et on superpose la simulation à la théorie **(A4)** :

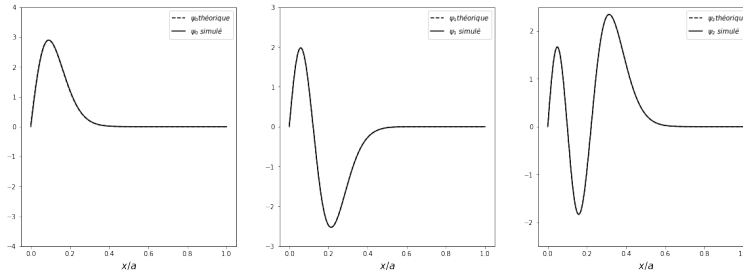


Figure 3: Comparaison des fonctions propres théoriques avec la simulation

On observe que la simulation colle quasi-parfaitement à la simulation effectuée avec  $N = 50$ .

### Qu'en est-il des énergies ?

On peut également tracer les énergies normalisées en fonction de  $n$ . On obtient d'après la simulation, une courbe ayant deux tendances **(A5)** :

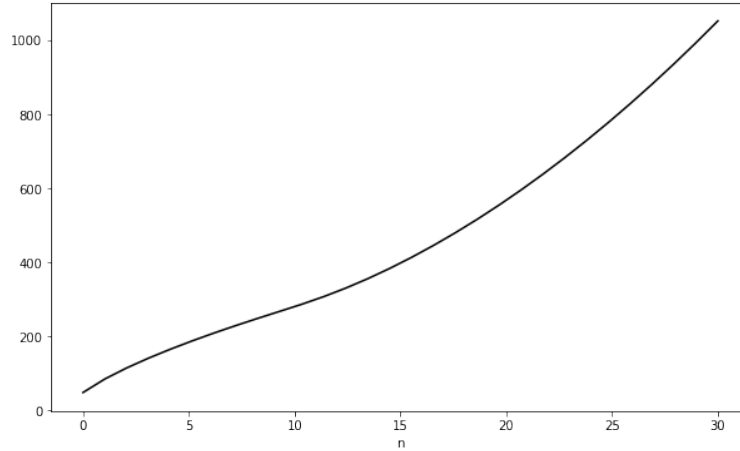


Figure 4: Les deux régimes de  $\varepsilon(n)$

On peut fitter le régime des  $n$  petits par l'expression de  $\varepsilon(n)$ , proportionnelle à  $n^{2/3}$ . Pour les  $n$  grands, comme pour le puits infini, on a  $\varepsilon(n) \propto n^2$ . On obtient **(A6)** :

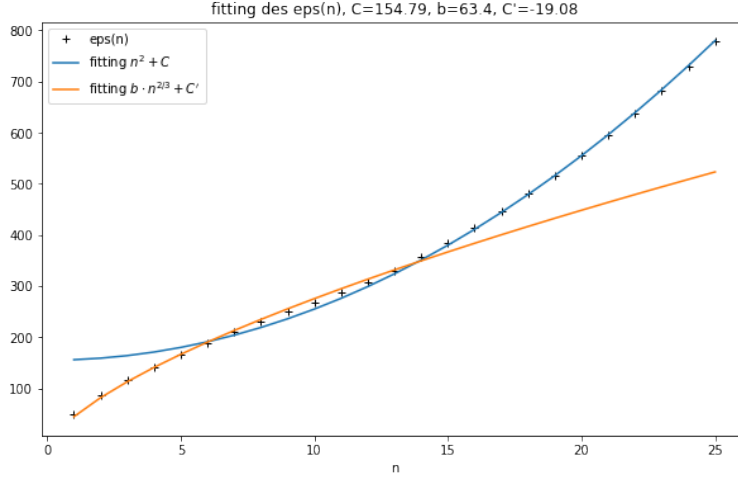


Figure 5: Fittings des régimes de  $\varepsilon(n)$

On observe bien l'existence de 3 régimes, les deux précédents et un intermédiaire. On trace 3 fonctions d'onde aux ordres ( $n = 3, 9, 20$ ), (**A7**):

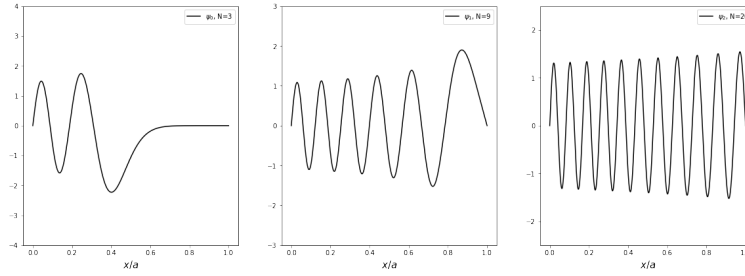


Figure 6:  $\psi_2(x)$  pour  $n = 3, 9, 20$

On observe que pour  $n$  faible, on a des diagrammes typiques du puits triangulaire et, plus  $n$  augmente, plus l'effet du potentiel triangulaire s'estompe et on retrouve les fonctions d'onde d'un puits infini.

On trace enfin les 5 premières densités de probabilité de présence, sur l'axe des énergies, rappelant la géométrie du puits. Le code (**A8**) et un peu de photoshop fournissent :

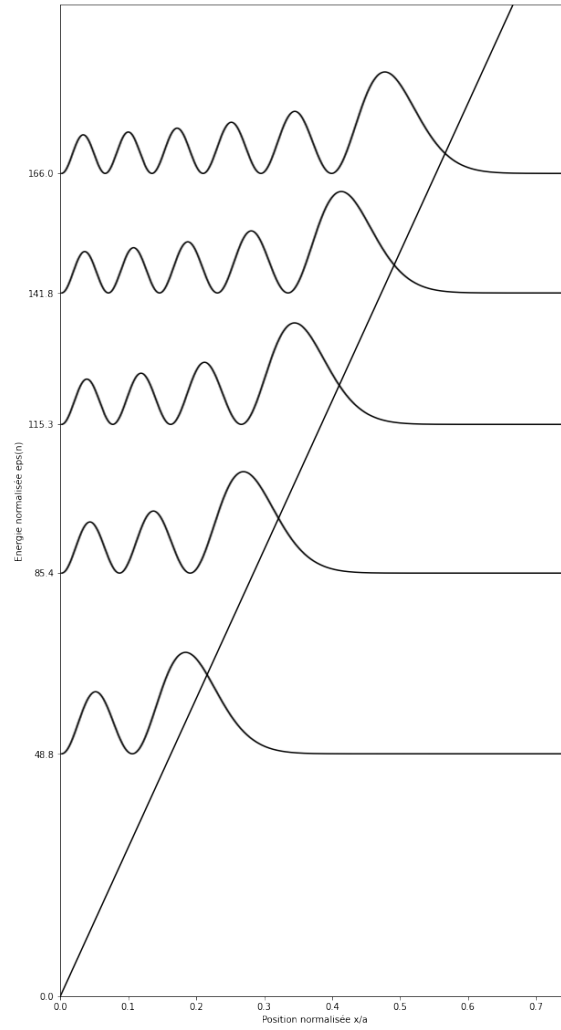


Figure 7: Probabilité  $A|\psi_n(x)|^2$  pour les 5 premiers  $n$

On observe bien que l'effet de la géométrie triangulaire du puits a de moins en moins d'impact plus  $n$  augmente. C'est ce qu'on observait sur la courbe des énergies.

## B Résonance paramagnétique électronique dans le rubis

On étudie maintenant le phénomène de résonance dans un cristal. La théorie de l'énoncé fournit la forme de l'Hamiltonien dans  $\vec{B}_0$  statique :

$$H = -\frac{2\pi D}{\hbar}(S_z^2 - \frac{S^2}{3}) + g\frac{eB_0}{2m}(S_z \cos\theta + S_x \sin\theta)$$

Où z est l'axe du cristal,  $D = 5.73$  GHz et  $\theta$  l'angle que fait le champ avec l'axe  $Oz$ .

Vu que S est fixé à  $\frac{3}{2}$ , et que  $m_s$  ne peut prendre que les valeurs demi-entières entre  $-\frac{3}{2}$  et  $\frac{3}{2}$ , on a :

$$\{|S, m_s\rangle\} = \left\{ \left| \frac{3}{2}, -\frac{3}{2} \right\rangle, \left| \frac{3}{2}, -\frac{1}{2} \right\rangle, \left| \frac{3}{2}, \frac{1}{2} \right\rangle, \left| \frac{3}{2}, \frac{3}{2} \right\rangle \right\}$$

On a, en outre, les effets suivants pour les opérateurs :

$$\begin{aligned} S_z |S, m_s\rangle &= s\hbar |S, m_s\rangle \\ S^2 |S, m_s\rangle &= s(s+1)\hbar^2 |S, m_s\rangle \end{aligned}$$

Malheureusement,  $S_x$  n'est pas valeur propre de  $|S, m_s\rangle$ , mais on peut passer par les opérateurs "ascenceurs",  $S_+$  et  $S_-$  qui vérifient :

$$\begin{aligned} S_x &= \frac{S_+ + S_-}{2} \\ S_+ |S, m_s\rangle &= \hbar \sqrt{s(s+1) - m(m+1)} |S, m_s + 1\rangle \quad (\text{si possible, sinon} = 0) \\ S_- |S, m_s\rangle &= \hbar \sqrt{s(s+1) - m(m-1)} |S, m_s - 1\rangle \quad (\text{si possible, sinon} = 0) \end{aligned}$$

Grâce à cela, on peut alors calculer tous les coefficients  $H_{ij}$  de la matrice H. On arrive, après calcul à (avec  $\mu_B = \frac{e\hbar}{2m}$ ) :

$$\begin{pmatrix} -2\pi D\hbar - \frac{3}{2}g\mu_B B_0 \cos\theta & \frac{\sqrt{3}}{2}g\mu_B B_0 \sin\theta & 0 & 0 \\ \frac{\sqrt{3}}{2}g\mu_B B_0 \sin\theta & 2\pi D\hbar - \frac{1}{2}g\mu_B B_0 \cos\theta & g\mu_B B_0 \sin\theta & 0 \\ 0 & g\mu_B B_0 \sin\theta & 2\pi D\hbar + \frac{1}{2}g\mu_B B_0 \cos\theta & \frac{\sqrt{3}}{2}g\mu_B B_0 \sin\theta \\ 0 & 0 & \frac{\sqrt{3}}{2}g\mu_B B_0 \sin\theta & -2\pi D\hbar + \frac{3}{2}g\mu_B B_0 \cos\theta \end{pmatrix}$$

## Valeurs propres

La matrice de l'Hamiltonien est tridiagonale mais pas diagonale. On propose le code **(B1)** qui calcule  $H$ , la diagonalise et plot les 4 énergies propres en fréquence, en fonction de  $\theta$  et  $B$ .

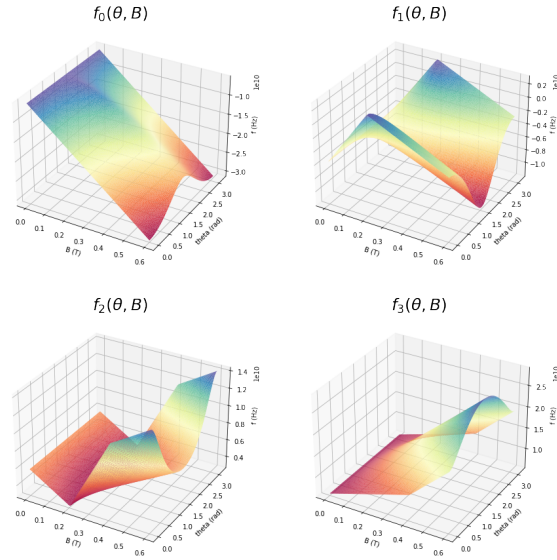


Figure 8: Allure de  $f_n(\theta, B)$  pour  $n = 0..3$ ,  $B \in [0, 0.6]$  T,  $\theta \in [0, \pi]$

On se place maintenant spécifiquement à  $\theta = 50^\circ$  (0.873 rad), on a alors **(B2)** :

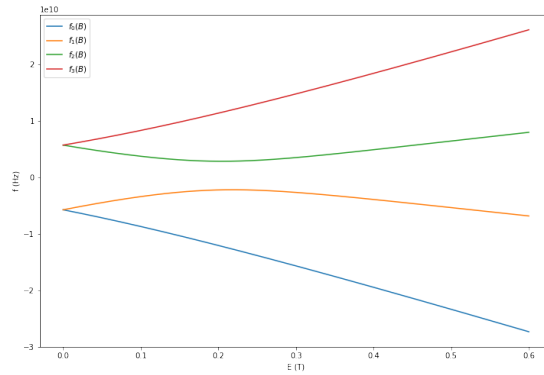


Figure 9: Allure de  $f_n(50^\circ, B)$  pour  $n = 0..3$ ,  $B \in [0, 0.6]$  T,



## Vecteurs propres

A  $B = 0$  T, la matrice  $H$  est diagonale, et on a trivialement les vecteurs propres suivants :

$$\psi_0 = \begin{bmatrix} 1 \\ 0 \\ 0 \\ 0 \end{bmatrix}, \psi_1 = \begin{bmatrix} 0 \\ 0 \\ 0 \\ 1 \end{bmatrix}, \psi_2 = \begin{bmatrix} 0 \\ 1 \\ 0 \\ 0 \end{bmatrix}, \psi_3 = \begin{bmatrix} 0 \\ 0 \\ 1 \\ 0 \end{bmatrix}$$

Pour  $B = 0.6$  T, le code **(B3)** donne, arrondi au centième :

$$\psi_0 = \begin{bmatrix} 0.89 \\ 0.39 \\ -0.23 \\ -0.09 \end{bmatrix}, \psi_1 = \begin{bmatrix} -0.43 \\ 0.53 \\ -0.61 \\ -0.41 \end{bmatrix}, \psi_2 = \begin{bmatrix} 0.16 \\ -0.63 \\ -0.17 \\ -0.74 \end{bmatrix}, \psi_3 = \begin{bmatrix} -0.05 \\ 0.41 \\ 0.75 \\ -0.53 \end{bmatrix}$$

La fréquence de résonance  $f_r$  de la cavité vaut 9.19 GHz. Quand  $B$  est dans l'intervalle  $[0, 0.6]$  T, toutes les fréquences propres passent par  $f_r$  à  $50^\circ$  d'après la Fig.9. On en déduit que 4 transitions seront visibles sur le graphe RPE. C'est bien ce qu'on obtient par la simulation (code **(B4)**) :

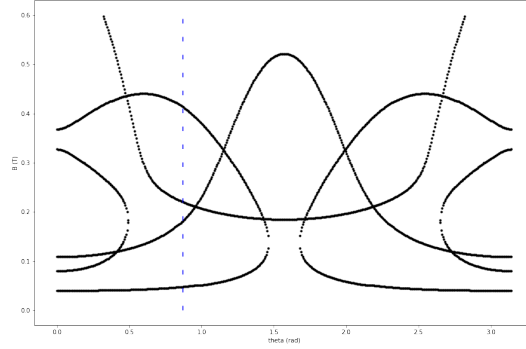


Figure 10: Spectre RPE simulé, verticale à  $\theta = 50^\circ$

On lit ce diagramme ainsi, à  $\theta$  fixé, un trait vertical informe sur le nombre de transitions visibles, et à quels  $B$  les trouver. A  $B$  fixé, un trait horizontal informe sur le nombre de transitions visibles, et à quels  $\theta$  les trouver.

Le trait vertical intersecte 4 fois les courbes, on observe bien 4 transitions.

On superpose enfin les résultats théoriques de 2018 avec la simulation. On obtient **(B5)** le graph :

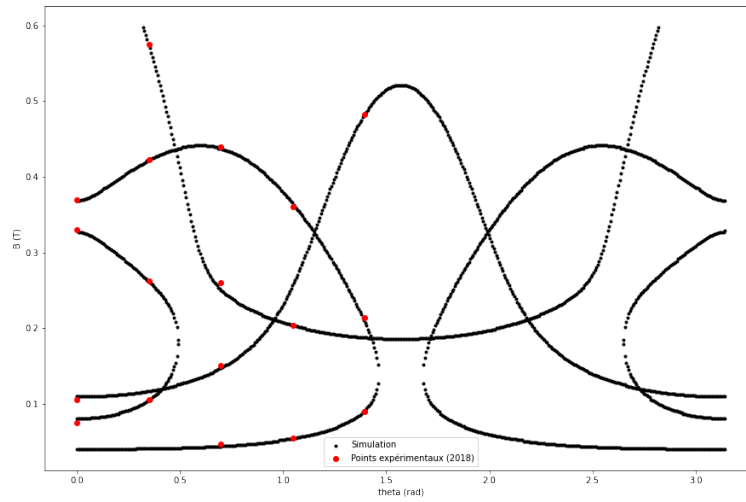


Figure 11: Simulation et expérience

Les résultats expérimentaux coïncident parfaitement avec la simulation, les étudiants de 2018 ont bien travaillé.

## Annexes

### Partie A

#### A1

```
1 #A1
2 from scipy import special
3 import numpy as np
4 import matplotlib.pyplot as plt
5
6 x=np.linspace(-10,5,10000)
7 plt.plot(x,special.airy(x)[0], 'k')
8 plt.grid()
9 plt.xticks([-10,-6,-2,2])
```

#### A2

```
1 #A2
2 import numpy.linalg as alg
3 import matplotlib.pyplot as plt
4 import scipy
5 import numpy as np
6 from scipy.constants import hbar
7 from scipy.integrate import nquad
8
9 global a,v0,N,dx,m
10 m=1
11 a=1
12 v0=300
13 N=int(1e2)
14 dx=1e-6
15
16 def Psi(N,n_od): #n_od:ordre de l'etat excit
17     E_n= lambda n : (n*np.pi*hbar/a)**2/(2*m)
18     v_tri= lambda x : v0/a*x
19     delta= lambda n,m : int(n==m)
20     intg= lambda n,m : nquad(lambda x : v_tri(x)*np.sin(n*np.pi*x)*
21                               np.sin(m*np.pi*x),[[0,1]],opts=[{'limit':100}])
22     H_nm= lambda n,m : n**2*delta(n,m)+2*intg(n,m)[0]
23
24     H=np.zeros((N,N))
25     for i in range(N):
26         for j in range(N):
27             H[i,j]=H_nm(i+1,j+1)
28
29     phi= lambda n,x : np.sqrt(2/a)*np.sin(n*np.pi*x/a)
30
31     [spectre,vecs_p]=alg.eig(H)
32     #tri des vecteurs propres
33     ordre=spectre.argsort()
34     vecs_p=vecs_p[:,ordre]
35     spectre=spectre[ordre]
36
37     vec=vecs_p[:,n_od]
38     e=spectre[n_od]
```

```

39     def f(x):
40         f_ = 0
41         for i in range(N):
42             f_ += vec[i]*phi(i+1,x)
43         return f_
44
45     return f,e

```

A3

```

1  #A3
2  vec_x=np.linspace(0,a,int(1/dx))
3  fig,ax=plt.subplots(1,3,figsize=(20,6.66))
4
5  psi_0,e_0=Psi(N,0)
6  ax[0].plot(vec_x,psi_0(vec_x),'k')
7  ax[0].set_ylim([-4,4])
8  ax[0].set_ylabel('$\phi_0(x)$',fontsize=15)
9  ax[0].set_xlabel('$x/a$',fontsize=15)
10 ax[0].set_title('$E_0$'+str(round(e_0,2)))
11
12 psi_1,e_1=Psi(N,1)
13 ax[1].plot(vec_x,-psi_1(vec_x),'k')
14 ax[1].set_ylim([-3,3])
15 ax[1].set_ylabel('$\phi_1(x)$',fontsize=15)
16 ax[1].set_xlabel('$x/a$',fontsize=15)
17 ax[1].set_title('$E_1$'+str(round(e_1,2)))
18
19 psi_2,e_2=Psi(N,2)
20 ax[2].plot(vec_x,-psi_2(vec_x),'k')
21 ax[2].set_ylim([-2.5,2.5])
22 ax[2].set_ylabel('$\phi_2(x)$',fontsize=15)
23 ax[2].set_xlabel('$x/a$',fontsize=15)
24 ax[2].set_title('$E_2$'+str(round(e_2,2)))

```

A4

```

1  #A4
2  epsi = lambda n : (3*v0*(4*n-1)/(8))**(2/3)
3  psi_th = lambda n,x : special.airy((v0*np.pi**2)**(1/3)*(x/a-epsi(n)/v0))[0]
4
5  C_0=max(abs(psi_0(vec_x)))/max(abs(psi_th(1,vec_x)))
6  C_1=max(abs(psi_1(vec_x)))/max(abs(psi_th(2,vec_x)))
7  C_2=max(abs(psi_2(vec_x)))/max(abs(psi_th(3,vec_x)))
8
9  vec_x=np.linspace(0,1,int(1/dx))
10 fig,ax=plt.subplots(1,3,figsize=(20,6.66))
11
12 ax[0].plot(vec_x,C_0*psi_th(1,vec_x),'k--',label='$\psi_0$
    th orique$')
13 ax[1].plot(vec_x,-C_1*psi_th(2,vec_x),'k--',label='$\psi_1$
    th orique$')
14 ax[2].plot(vec_x,C_2*psi_th(3,vec_x),'k--',label='$\psi_2$
    th orique$')
15
16 ax[0].plot(vec_x,-psi_0(vec_x),'k-',label='$\psi_0 \sim$ simul $')
17 ax[0].set_ylim([-4,4])
18 ax[0].set_xlabel('$x/a$',fontsize=15)

```

```

19
20
21 ax[1].plot(vec_x,-psi_1(vec_x),'k-',label='$\psi_1 \setminus simul $')
22 ax[1].set_ylim([-3,3])
23 ax[1].set_xlabel('$x/a$',fontsize=15)
24
25
26 ax[2].plot(vec_x,psi_2(vec_x),'k-',label='$\psi_2 \setminus simul $')
27 ax[2].set_ylim([-2.5,2.5])
28 ax[2].set_xlabel('$x/a$',fontsize=15)
29
30 ax[0].legend()
31 ax[1].legend()
32 ax[2].legend()

```

## A5

```

1 #A5
2
3 N=75
4 n_od=0
5 E_n= lambda n : (n*np.pi*hbar/a)**2/(2*m)
6 v_tri= lambda x : v0/a*x
7 delta= lambda n,m : int(n==m)
8 intg= lambda n,m : nquad(lambda x : v_tri(x)*np.sin(n*np.pi*x)*np.
9     sin(m*np.pi*x),[[0,1]],opts=[{'limit':100}])
10 H_nm= lambda n,m : n**2*delta(n,m)+2*intg(n,m)[0]
11
12 H=np.zeros((N,N))
13 for i in range(N):
14     for j in range(N):
15         H[i,j]=H_nm(i+1,j+1)
16
17 phi = lambda n,x : np.sqrt(2/a)*np.sin(n*np.pi*x/a)
18
19 [spectre,vecs_p]=alg.eig(H)
20 #tri des vecteurs propres
21 ordre=spectre.argsort()
22 vecs_p=vecs_p[:,ordre]
23 spectre=spectre[ordre]
24
25 plt.figure(figsize=[10,6])
26 plt.xlabel("n")
27 plt.plot(np.linspace(0,30,30),spectre[:30],'k-')

```

## A6

```

1 #A6
2 from scipy.optimize import curve_fit
3
4 plt.figure(figsize=[10,6])
5
6 vec_n=np.linspace(1,25,25)
7 C=curve_fit(lambda n,C:n**2+C,vec_n[15:25],spectre[15:25])[0][0]
8 fit_h=lambda n:n**2+C
9 vec_fit_high=[fit_h(n+1) for n in range(0,25)]
10 plt.plot(vec_n,spectre[:25],'k+',label='eps(n)')
11 plt.plot(vec_n,vec_fit_high,label="fitting $n^2+C$")
12

```

```

13 b,cp=curve_fit(lambda n,b,C:b*n**(2/3)+C,vec_n[0:15],spectre[0:15])
14     [0]
15 fit_l=lambda n:b*n**(2/3)+cp
16 vec_fit_low=[fit_l(n+1) for n in range(0,25)]
17 plt.plot(vec_n,vec_fit_low,label="fitting $b \cdot n^{2/3}+C'$")
18 plt.xlabel('n')
19 plt.legend()
20 plt.title('fitting des eps(n), C='+str(round(C,2))+', b='+str(round(
    (b,2))+", C'="+str(round(cp,2)))

```

A7

```

1 #A7
2
3 vec_x=np.linspace(0,1,int(1/dx))
4 fig,ax=plt.subplots(1,3,figsize=(20,6.66))
5
6 ax[0].plot(vec_x,Psi(50,3)[0](vec_x),'k-',label='$\psi_0$, n=3')
7 ax[0].set_ylim([-4,4])
8 ax[0].set_xlabel('$x/a$',fontsize=15)
9
10
11 ax[1].plot(vec_x,Psi(50,10)[0](vec_x),'k-',label='$\psi_1$, n=9')
12 ax[1].set_ylim([-3,3])
13 ax[1].set_xlabel('$x/a$',fontsize=15)
14
15
16 ax[2].plot(vec_x,Psi(50,20)[0](vec_x),'k-',label='$\psi_2$, n=20')
17 ax[2].set_ylim([-2.5,2.5])
18 ax[2].set_xlabel('$x/a$',fontsize=15)
19
20 ax[0].legend()
21 ax[1].legend()
22 ax[2].legend()

```

A8

```

1 #A8.1
2
3 plt.figure(figsize=[10,20])
4 plt.yticks([0]+list(spectre[0:5]))
5 plt.plot(vec_x,v0/a*vec_x,'k')
6 plt.xlabel('Position normalis e x/a')
7 plt.ylabel('Energie normalis e eps(n)')
8 plt.ylim([0,200])
9 plt.xlim([0,0.75])
10
11 #A8.2
12 global A
13 A=1
14
15 fig,ax=plt.subplots(figsize=[10,2.25])
16 fig.patch.set_visible(False)
17 ax.axis('off')
18
19 n_plt=5
20
21 plt.plot(vec_x,A*abs(Psi(50,n_plt)[0](vec_x))**2,'k')

```

## Partie B

B1

```
1 #B1
2 import numpy as np
3 from scipy.constants import hbar
4 import numpy.linalg as alg
5 import matplotlib.pyplot as plt
6 from mpl_toolkits.mplot3d import Axes3D
7
8 D=5.73E9
9 g=2
10 mu=9.274009994E-24
11
12 def H(B,theta):
13     H=np.zeros([4,4])
14     A=2*np.pi*D*hbar
15     C=g*mu*B
16     H[0,0]=-A-1.5*C*np.cos(theta)
17     H[1,1]=A-.5*C*np.cos(theta)
18     H[2,2]=A+.5*C*np.cos(theta)
19     H[3,3]=-A+1.5*C*np.cos(theta)
20
21     H[0,1]=np.sqrt(3)/2*C*np.sin(theta)
22     H[1,0]=np.sqrt(3)/2*C*np.sin(theta)
23
24     H[2,1]=C*np.sin(theta)
25     H[1,2]=C*np.sin(theta)
26
27     H[3,2]=np.sqrt(3)/2*C*np.sin(theta)
28     H[2,3]=np.sqrt(3)/2*C*np.sin(theta)
29     return H
30
31
32 def vp_H(B,theta):
33     H_=H(B,theta)
34     [spectre,vecs_p]=alg.eig(H_)
35     ordre=spectre.argsort()
36     vecs_p=vecs_p[:,ordre]
37     spectre=spectre[ordre]
38     return spectre
39
40 n_=100
41 theta_vec=np.linspace(0,np.pi,n_)
42 B_vec=np.linspace(0,0.6,n_)
43
44 fig = plt.figure(figsize=[15,15])
45
46 ax0 = fig.add_subplot(2,2,1,projection='3d')
47
48 data0=[]
49 for b_item in B_vec:
50     for theta_item in theta_vec:
51         data0.append([theta_item,b_item,vp_H(b_item,theta_item)
52                        [0]])
53 data0=np.array(data0) #theta,b,e
```

```

54
55
56 ax0.plot_trisurf(data0[:,1],data0[:,0],data0[:,2]/(2*np.pi*hbar),
    cmap=plt.cm.Spectral)
57 ax0.set_ylabel('theta (rad)')
58 ax0.set_xlabel('B (T)')
59 ax0.set_zlabel('f (Hz)')
60 ax0.set_title(r'$f_0(\theta,B)$',fontsize=25)
61
62
63
64 ax1 = fig.add_subplot(2,2,2,projection='3d')
65
66 data1=[]
67 for b_item in B_vec:
68     for theta_item in theta_vec:
69         data1.append([theta_item,b_item,vp_H(b_item,theta_item)
70             [1]])
71
72 data1=np.array(data1) #theta,b,e
73
74 ax1.plot_trisurf(data1[:,1],data1[:,0],data1[:,2]/(2*np.pi*hbar),
    cmap=plt.cm.Spectral)
75 ax1.set_ylabel('theta (rad)')
76 ax1.set_xlabel('B (T)')
77 ax1.set_zlabel('f (Hz)')
78 ax1.set_title(r'$f_1(\theta,B)$',fontsize=25)
79
80
81
82 ax2 = fig.add_subplot(2,2,3,projection='3d')
83
84 data2=[]
85 for b_item in B_vec:
86     for theta_item in theta_vec:
87         data2.append([theta_item,b_item,vp_H(b_item,theta_item)
88             [2]])
89
90 data2=np.array(data2) #theta,b,e
91
92 ax2.plot_trisurf(data2[:,1],data2[:,0],data2[:,2]/(2*np.pi*hbar),
    cmap=plt.cm.Spectral)
93 ax2.set_ylabel('theta (rad)')
94 ax2.set_xlabel('B (T)')
95 ax2.set_zlabel('f (Hz)')
96 ax2.set_title(r'$f_2(\theta,B)$',fontsize=25)
97
98
99
100 ax3 = fig.add_subplot(2,2,4,projection='3d')
101
102 data3=[]
103 for b_item in B_vec:
104     for theta_item in theta_vec:

```



```

105     data3.append([theta_item,b_item,vp_H(b_item,theta_item)
106                  [3]])
107 data3=np.array(data3) #theta,b,e
108
109
110 ax3.plot_trisurf(data3[:,1],data3[:,0],data3[:,2]/(2*np.pi*hbar),
111                  cmap=plt.cm.Spectral)
112 ax3.set_ylabel('theta (rad)')
113 ax3.set_xlabel('B (T)')
114 ax3.set_zlabel('f (Hz)')
115 ax3.set_title(r'$f_3(\theta,B)$',fontsize=25)
116
117
118 plt.show()

```

## B2

```

1 #B2
2 theta0=50*np.pi/180
3 B_vec2=np.linspace(0,0.6,1000)
4 E=[]
5 for i in range(4):
6     e=[]
7     for b_item in B_vec2:
8         e.append(vp_H(b_item,theta0)[i])
9     E.append(e)
10 E=np.array(E)
11 plt.figure(figsize=[12,8])
12 plt.plot(B_vec2,E[0]/(2*np.pi*hbar),label='$f_0(B)$')
13 plt.plot(B_vec2,E[1]/(2*np.pi*hbar),label='$f_1(B)$')
14 plt.plot(B_vec2,E[2]/(2*np.pi*hbar),label='$f_2(B)$')
15 plt.plot(B_vec2,E[3]/(2*np.pi*hbar),label='$f_3(B)$')
16 plt.legend()
17 plt.xlabel('E (T)')
18 plt.ylabel('f (Hz)')

```

## B3

```

1 #B3
2 def vecp_H(B,theta,n):
3     H_=H(B,theta)
4     [spectre,vecs_p]=alg.eig(H_)
5     ordre=spectre.argsort()
6     vecs_p=vecs_p[:,ordre]
7     return vecs_p[n]
8 print(np.round(vecp_H(0.6,theta0,0),2))
9 print(np.round(vecp_H(0.6,theta0,1),2))
10 print(np.round(vecp_H(0.6,theta0,2),2))
11 print(np.round(vecp_H(0.6,theta0,3),2))

```

## B4

```

1 #B4
2
3 global n_p
4 n_p=500
5

```

```

6 def dE_list(theta,n):#n entre 0 et 2
7     B=np.linspace(0,0.6,n_p)
8     dE_vec=[]
9     for B_item in B:
10         energies=vp_H(B_item,theta)
11         dE_vec.append(energies[n+1]-energies[n])
12     return np.array(dE_vec)/(2*np.pi*hbar)
13
14 def dE2_list(theta,n):#n entre 0 et 1
15     B=np.linspace(0,0.6,n_p)
16     dE_vec=[]
17     for B_item in B:
18         energies=vp_H(B_item,theta)
19         dE_vec.append(energies[n+2]-energies[n])
20     return np.array(dE_vec)/(2*np.pi*hbar)
21
22 def dE3_list(theta):#n=0
23     B=np.linspace(0,0.6,n_p)
24     dE_vec=[]
25     for B_item in B:
26         energies=vp_H(B_item,theta)
27         dE_vec.append(energies[3]-energies[0])
28     return np.array(dE_vec)/(2*np.pi*hbar)
29
30 def transition_list(theta):
31     B=np.linspace(0,0.6,n_p)
32     fr=9.19E9
33     trans=[]
34     for n in range(3): #transition entre niveaux adjacents
35
36         dE=dE_list(theta,n)
37         for i in range(n_p-1):
38             if (dE[i]>fr and dE[i+1]<fr) or (dE[i]<fr and dE[i+1]>
39 fr):
40                 trans.append(B[i])
41
42     for n in range(2): #transition 0-2,1-3
43         dE2=dE2_list(theta,n)
44         for i in range(n_p-1):
45             if (dE2[i]>fr and dE2[i+1]<fr) or (dE2[i]<fr and dE2[i
46 +1]>fr):
47                 trans.append(B[i])
48
49     dE3=dE3_list(theta) #transition 0-3
50     for i in range(n_p-1):
51         if (dE3[i]>fr and dE3[i+1]<fr) or (dE3[i]<fr and dE3[i+1]>
52 fr):
53         trans.append(B[i])
54     return trans
55
56 plt.figure(figsize=[15,10])
57 theta_vec=np.linspace(0,np.pi,n_p)
58 for theta in theta_vec:
59     for trans in transition_list(theta):
60         plt.scatter(theta,trans,marker=".",color='k')
61 plt.vlines(50*np.pi/180,0,0.6,colors='b',linestyles=(0,(5,15)))
62 plt.ylabel('B (T)')

```

```

60 plt.xlabel('theta (rad)')
61 plt.show()

```

B5

```

1  #B5
2
3  Bexp=np.array
   ([750,1050,3700,3300,1050,2620,4220,5750,460,1500,2600,4400,550,2040,3600,900,2140,4820])
   *1E-4
4  thetaexp=np.array
   ([0,0,0,0,20,20,20,20,40,40,40,40,60,60,60,80,80,80])*np.pi/180
5
6  plt.figure(figsize=[15,10])
7  theta_vec=np.linspace(0,np.pi,n_p)
8  for theta in theta_vec:
9      for trans in transition_list(theta):
10         plt.scatter(theta,trans,marker=".",color='k')
11
12  plt.scatter(theta_vec[0],transition_list(theta_vec[0])[0],marker=".",
   color='k',label='Simulation')
13
14  plt.scatter(thetaexp,Bexp,color='r',label='Points experimentaux
   (2018)')
15  plt.ylabel('B (T)')
16  plt.xlabel('theta (rad)')
17  plt.legend()
18  plt.show()

```